

Məhsuldar laydan bilavasitə yuxarıda yerləşən gillərin xaricə axmasının və istismar kəmərinin bükülməsinin qarşısının alınması

E.X. Məmmədov

Azərbaycan Dövlət Neft və Sənaye Universiteti

e-mail: maelsevar15606@sabah.edu.az

Предотвращение потока находящихся непосредственно выше продуктивного пласта глин наружу и скатия эксплуатационной колонны

Э.Х. Мамедов

Азербайджанский государственный университет нефти и промышленности

Ключевые слова: обсадная колонна, дизайн скважины, скатие обсадной колонны, выбор эксплуатационной колонны с применением программы "Stress Check".

Исследованы способы предотвращения скатия обсадных колонн и в особенности эксплуатационной колонны, а также осложнения, возникающие в процессе бурения скважин в Каспийском море в результате проникновения глин наружу и предотвращение такого рода проблем. Кроме того, при выборе обсадной колонны была использована компьютерная программа "Stress Check".

Одной из геологических проблем, являющихся причиной скатия обсадной колонны возможно являются слабосементированные глинистые слои.

Кроме того, рассмотрены конструкция пробуренной на месторождении Булла-дениз скважины, пластовые давления и выбор обсадной колонны для этой скважины. Рассмотрены проблемы, ставшие причиной скатия обсадной колонны в процессе бурения.

В заключение с помощью компьютерной программы "Stress Check" был проработан выбор колонны, которая будет спущена в газовую скважину на месторождении Булла-дениз.

Prevention of the flow of clays located higher than productive formation outside and necking of production string

E.Kh. Mammadov

Azerbaijan State University of Oil and Industry

Keywords: casing, well design, necking of casing, selection of production string using "Stress Check" software program.

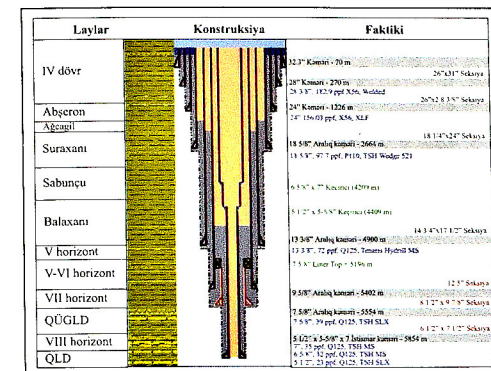
The paper studies the methods of prevention of necking of casings and in particular, production strings, as well as the complications occurring in the drilling process in the Caspian Sea as a result of clay flowing out and prediction of such kind of issues. Moreover, in the selection of production strings, "Stress Check" software program was used.

One of the geological issues leading to the necking of casing is probably poorly cemented clay layers.

In addition, the structure of the well drilled in Bulla-deniz field, formation pressure and the selection of casing for this well have been considered.

In conclusion, the selection of casing to be lowered into the gas well in Bulla-deniz field has been executed via "Stress Check" software program.

proqramlardan biri olan "Well Cat" programından istifadə edilir. "Well Cat" programından dərin kritik quyularda, yüksək təzyiqli və temperaturlu quyularda həmişə tri-aksial hesablamaların aparılmasında geniş istifadə olunur. Şəkil 2-də Bulla-dəniz yatağında qazılmış quyunun konstruksiyası göstərilmişdir.



Şəkil 2. Bulla-dəniz yatağı 117 №-li quyunun profili

Qoruyucu kəmərlərin (QK) bükülməsinin əsas səbəbi müəyyən sərtliyə malik sūxurlarda nisbətən az qalınlıqlı, lakin yüksək keçiricilikli sūxurların olmasıdır. Bu hal ən çox gil ləylərində baş verir. Ona görə də, həmin interval zəif və az sementlənmiş olur ki, o da asanlıqla sürüşərək QK-nin bükülməsinə, bu baş verməsə belə, onun deformasiya olunmasına səbab olur. Bu problemin həlli istiqamətində son illərdə daha da çox araşdırılmışdır.

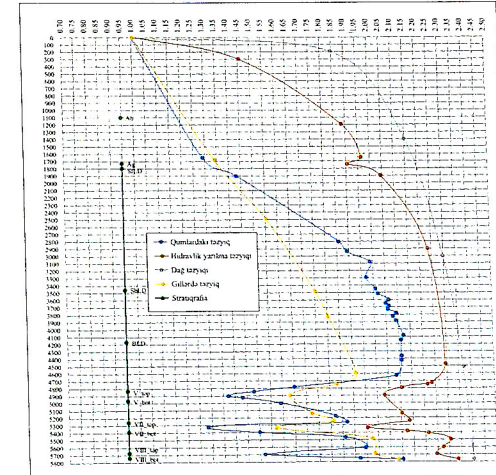
Buna görə də QK-ləri endirdikdə həmin zəif sūxurun qarşısına düşəcək kəmərin aşağı hissəsinə sement qoruyucusu (cement controller) quraşdırılır və sürüşə biləcək sūxurun qarşısı sementlənmişdir (Şəkil 1). Həmin həlqəvi fazanın boş qoyulmasına səbab zəif sūxur hissəciklərinin sürüsdürkdən sonra orada toplanmasıdır [1].



Şəkil 1. Sementlənməmiş vəziyyətdə zəif lay

QK-nin parametrləri elə hesablanmalıdır ki, onlar quyuda baş verə biləcək ən pis hallara davam gətirsin. Kəmərin seçilməsində hesablamalar bi-aksial və tri-aksial aparılır. Bi-aksial hesablamalar əllə aparmaq və sonra kompüter proqramlarından istifadə etməklə yoxlamaq olar. Lakin tri-aksial hesablamaların aparılması kompüter proqramları ilə mümkündür. Bunun üçün tipik

si aksial qüvvələrə təsir edir və aşağıdakı kim he-sablanır (Şəkil 4) [3].



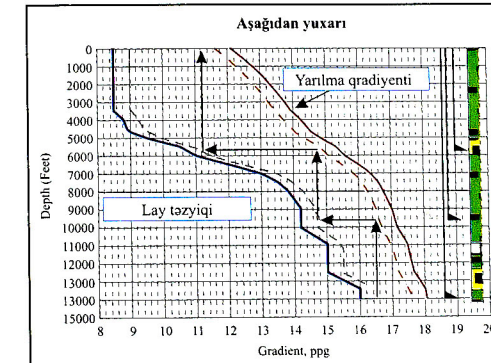
Şəkil 4. 117 №-li quyu üçün faktiki birləşmiş təzyiqlər qrafik

$$\Delta F = -\delta E A s \Delta T, \quad (1)$$

burada ΔF – temperatur dəyişməsindən yaranan qüvvə; δ – termal genişlənmə əmsali; E – Yunq modulu (polad üçün 3×10^7); $A s$ – borunun en keşiyinin sahəsi, düym kv; ΔT – boş qalmış uzunluq boyunca temperaturdur.

QK-yə təsir edən tri-aksial qüvvələrin analizi aşağıdakı düsturda aparılmışdır. Bu analizdə əsas gərginliklər arasındaki funksiyadır [4].

$$Y_p \geq \sigma_{VME} = \frac{1}{\sqrt{2}} \times \left[(\sigma_z - \sigma_\theta)^2 + (\sigma_\theta - \sigma_r)^2 + (\sigma_r - \sigma_z)^2 \right]^{1/2}. \quad (2)$$



Şəkil 3. Qoruyucu kəmərlərin aşağıdan yuxarıda seçiləməsi

Bundan başqa QK-nin seçilməsi birləşmiş təzyiqlərin qrafikinə əsasən aşağıdan yuxarıya seçilir və dizayn olunur (Şəkil 3) [2].

Istismar kəmərlərinin gillərin təsirindən əzil-məsinin (bükülməsi) qarşısını almaq üçün digər amillər də nəzərə alınmalıdır. Bunlar maksimal quyuağzı təzyiq, istismar kəmərinin buraxılma dərinliyi, kəmərlərin qazma borularının təsirindən yeyilməsi və yivlər. Gillərin xaricə axaraq QK-ləri asanlıqla əzməsinə (bükməsinə) kəmərlərin diametrinin qazma zamanı yeyilərək itirilməsi çox təsir edir. 117 №-li quyuda qazma zamanı bu yeyilməni kəmər başlığının qoruyucu halqası çıxarıldıqdan sonra onda olan yeyilmə buna misal olabilir. Dərin quyularda temperaturun yüksək olma-

Qoruyucu və istismar kəmərinə gillərin xaricə axaraq təsir etməsinin başlıca səbəbi quyuda olan qazma məhlulunun həmin gillərə yaratdığı əks təzyiqin kifayət qədər olmamasıdır. Bu hal istər qazmada, istərsə də, QK-nin endirilməsi zamanı baş verir. Bulla-dəniz yatağında 117 №-li quyu $\gamma = 1900 \text{ kq/m}^3$ sıxlıqlı qazma məhlulu ilə qazma zamanı 5385 m-də torquun kəskin şəkildə artması ($M = 34 \text{ kNm}$) qazmamı optimal rejimdə davam etdirməyə imkan vermir və tez-tez alətin fırlanması dayanmasına səbab olurdu. Buna görə də qazma məhlulunun sıxlığı $\gamma = 1900 \text{ kq/m}^3$ -dan $\gamma = 1920 \text{ kq/m}^3$ -ə qaldırıldı. Bu hal quyuda bir neçə seksiyanın qazılmasında müşahidə edilmişdir və hər dəfə qazma məhlulunun sıxlığının

Nəticə

Bu işdə Bulla-dəniz yatağında qazılmış quylara endirilən QK-yə təsir edən qüvvələr və yaranmış problemlərin həlli yolları araşdırılmışdır.

Eləcə də, məhsuldar zonadan yuxarıda yerləşən gillərin, bi-aksial və tri-aksial qüvvələrin qoruyucu kəmərlərin bükülməsinə təsiri tədqiq olunmuşdur. Həmin qüvvələr nəzərə alınaraq "Stress Check" programından istifadə edilərək Bulla-dəniz yatağında gələcəkdə qazılacaq 118 №-li quyuya buraxılması uyğun olduğu məlum olur.

QK-nin uyğun olmama səbəbi istismar zamanı gözlənilən lay təzyiqinə davam götirməməsidir. Təhlükəsizlik əmsali 1.1 qəbul edilmişdir.

Program ilə fərqli markalı kəmərlər yoxlanıldı. Şəkil 6-da verilən məlumatlara əsasən 9 7/8" 65.3 ppf, TN140 HC istismar kəmərinin buraxılması uyğun olduğu məlum olur.

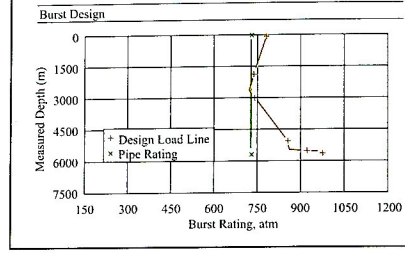
Ədəbiyyat siyahısı

1. Ai Chi. Mechanism and theoretic models of casing failure and numerical calculation with them. Daqing: Daqing Petroleum Institute, 2003.
2. Pattiello P.D. və Huang N.C. "The Effect of Axial Load on Casing Collapse." // Neft-kimya texnologiyası jurnalı, 1982, Yanvar 159-64.
3. Holliday G.H. "Calculation of Allowable Maximum Casing Temperature to Prevent Tension Failures in Thermal Wells." AMMC Konfransında tətbiq edilmiş hesabat, 1969, Tulsa.
4. Rike E.A., Bryant G.A. və Williams S.D. "Success in Prevention of Casing Failures Opposite Salts, Little Knife Field, North Dakota." EIB Qazma texnologiyası, 1986, Aprel, 131-40.
5. Rike E.A., Bryant E.A. və Williams S.D. EIB Qazma texnologiyası, Aprel 1986, 131-40.
6. Greer J.B. və Holland W.E. "High-Strength Heavy-Wall Casing for Deep, Sour Gas Wells" // Neft-kimya texnologiyası jurnalı, 1981, Dekabr, 2389-98.

References

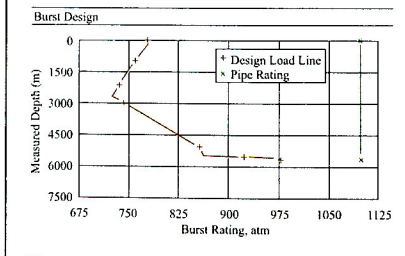
1. Ai Chi. Mechanism and theoretic models of casing failure and numerical calculation with them. Daqing: Daqing Petroleum Institute, 2003.
2. Pattiello P.D. və Huang N.C. "The Effect of Axial Load on Casing Collapse." // Neft-kimya texnologiyası zhurnaly, 1982, Yanvar, 159-64.
3. Holliday G.H. "Calculation of Allowable Maximum Casing Temperature to Prevent Tension Failures in Thermal Wells." AMMC Konfransında tətbiq edilməmiş hesabat, 1969, Tulsa.
4. Rike E.A., Bryant E.A. və Williams S.D. EIB Gazma texnologiyası, Aprel 1986, 131-40.
5. Rike E.A., Bryant E.A. və Williams S.D. "Success in Prevention of Casing Failures Opposite Salts, Little Knife Field, North Dakota." EIB Gazma texnologiyası, 1986, Aprel, 131-40.
6. Greer J.B. və Holland W.E. "High-Strength Heavy-Wall Casing for Deep, Sour Gas Wells" // Neft-kimya texnologiyası zhurnaly, 1981, Dekabr, 2389-98.

Depth (MD) (m)	OD/Weight rate	Connection	Minimum Safety Factor (Abs)			
			Burst	Collapse (V1)	Axial	
1	9 7/8" 65.30	TSR-NDS	1.03 05	2.06 C17	2.09 A1	1.25 05
2	36	* 9 7/8" 65.30	1.03 05	2.06 C17	2.10 A1	1.26 05
3	49	* 9 7/8" 65.30	1.03 05	2.06 C17	2.11 A1	1.27 05
4	62	* 9 7/8" 65.30	1.03 05	2.06 C17	2.11 A1	1.27 05
5	76	* 9 7/8" 65.30	1.03 05	2.06 C17	2.11 A1	1.27 05
6	90	* 9 7/8" 65.30	1.03 05	1.72 C17	2.09 A1	1.35 05
7	2160	* 9 7/8" 65.30	1.03 05	1.25 C17	3.29 A1	1.39 05
8	2710	* 9 7/8" 65.30	1.03 05	1.25 C17	3.29 A1	1.39 05
9	2710	* 9 7/8" 65.30	1.03 05	1.25 C17	3.29 A1	1.39 05
10	2750	* 9 7/8" 65.30	1.03 05	1.24 C17	3.29 A1	1.37 05
11	2850	* 9 7/8" 65.30	1.03 05	1.24 C17	3.29 A1	1.37 05
12	2940	* 9 7/8" 65.30	1.03 05	1.22 C17	3.53 A1	1.35 05
13	3030	* 9 7/8" 65.30	1.03 05	1.21 C17	3.62 A1	1.35 05
14	3120	* 9 7/8" 65.30	1.03 05	0.93 C17	7.46 A1	1.10 05
15	3120	* 9 7/8" 65.30	1.03 05	0.93 C17	7.46 A1	1.10 05
16	3120	* 9 7/8" 65.30	1.03 05	0.93 C17	7.46 A1	1.10 05
17	3120	* 9 7/8" 65.30	1.03 05	0.93 C17	7.46 A1	1.10 05
18	3210	* 9 7/8" 65.30	1.03 05	0.93 C17	7.46 A1	1.10 05
19	3310	* 9 7/8" 65.30	1.03 05	0.93 C17	7.46 A1	1.10 05
20	3570	* 9 7/8" 65.30	1.03 05	1.01 C17	9.34 A1	1.07 05
21	3610	* 9 7/8" 65.30	1.03 05	1.12 C17	10.49 A1	1.01 05
22	3710	* 9 7/8" 65.30	1.03 05	1.11 C17	10.93 A1	1.01 05
23	3710	* 9 7/8" 65.30	1.03 05	1.11 C17	10.94 A1	1.01 05
24						
		*	C1: Casing O.D. 65: Pressure Test C2: Casing C3: Drill Axial/Collapse A1: Axial Force A/A1: Vector Collapse Safety Factor			



Şəkil 5. 9 5/8" 47 ppf Q125 markalı istismar kəmərinin "Stress Check" programında yoxlanılması

Depth (MD) (m)	OD/Weight rate	Connection	Minimum Safety Factor (Abs)			
			Burst	Collapse (V1)	Axial	
1	9 7/8" 65.30	NDA	1.03 05	2.06 C17	2.09 A1	1.25 05
2	36	* 9 7/8" 65.30	1.03 05	2.06 C17	2.10 A1	1.26 05
3	49	* 9 7/8" 65.30	1.03 05	2.06 C17	2.11 A1	1.27 05
4	62	* 9 7/8" 65.30	1.03 05	2.06 C17	2.11 A1	1.27 05
5	90	* 9 7/8" 65.30	1.03 05	1.72 C17	2.09 A1	1.35 05
6	180	* 9 7/8" 65.30	1.03 05	1.25 C17	3.29 A1	1.35 05
7	2160	* 9 7/8" 65.30	1.03 05	1.25 C17	3.29 A1	1.35 05
8	2710	* 9 7/8" 65.30	1.03 05	1.25 C17	3.29 A1	1.35 05
9	2710	* 9 7/8" 65.30	1.03 05	1.25 C17	3.29 A1	1.35 05
10	2750	* 9 7/8" 65.30	1.03 05	1.26 C17	3.30 A1	1.35 05
11	2850	* 9 7/8" 65.30	1.03 05	1.27 C17	3.30 A1	1.35 05
12	2940	* 9 7/8" 65.30	1.03 05	1.27 C17	3.30 A1	1.35 05
13	3030	* 9 7/8" 65.30	1.03 05	1.27 C17	3.30 A1	1.35 05
14	3120	* 9 7/8" 65.30	1.03 05	1.27 C17	3.30 A1	1.35 05
15	3120	* 9 7/8" 65.30	1.03 05	1.28 C17	3.33 A1	1.36 05
16	3120	* 9 7/8" 65.30	1.03 05	1.28 C17	3.33 A1	1.36 05
17	3120	* 9 7/8" 65.30	1.03 05	1.28 C17	3.33 A1	1.36 05
18	3210	* 9 7/8" 65.30	1.03 05	1.28 C17	3.33 A1	1.36 05
19	3210	* 9 7/8" 65.30	1.03 05	1.28 C17	3.33 A1	1.36 05
20	3210	* 9 7/8" 65.30	1.03 05	1.28 C17	3.33 A1	1.36 05
21	3570	* 9 7/8" 65.30	1.03 05	1.28 C17	3.33 A1	1.36 05
22	3610	* 9 7/8" 65.30	1.03 05	1.28 C17	3.33 A1	1.36 05
23	3710	* 9 7/8" 65.30	1.03 05	1.28 C17	3.33 A1	1.36 05
24						
		*	C1: Casing O.D. 65: Pressure Test C2: Casing C3: Drill Axial/Collapse A1: Axial Force A/A1: Vector Collapse Safety Factor			



Şəkil 6. 9 7/8" 65.3 ppf, TN140 HC istismar kəmərinin "Stress Check" programında yoxlanılması

$\gamma = 200-400 \text{ kq/m}^3$ aralığında qaldırılması ilə aradan götürülmüşdür. Bu hallar geoloji problemlərə əlaqədardır. Gillerin xaricə axmasının texnoloji problemləri isə insan amilidir. Yəni qoruyucu və ya istismar kəmərinin endirilməsi zamani dinamik təzyiqin yüksək olması aşağı sürətlə udulmanın getməsinə səbəb ola bilər ki, nəticədə gilli laylara təsir edən hidrostatik təzyiq azalar və gillərin axması halları baş verə bilər. Bunun üçün auto-fill adlanan avadanlıqlandan istifadə edərək dinamik təzyiqi azaltmaq və boruların içərisinin doldurulması öz-özüne getdiyi üçün xarici qüvvələrin kəməri bükməsinin qarşısını almaq mümkün olur.

Bundan başqa QK-lərin seçilməsində kick tolerance (quyuşa daxil ola biləcək təzahürün həcmi) nəzərə alınmalıdır. Hansı ki "Stress Check" programında QK-lərin seçilməsində nəzərə alınır [5].

$$P_{\max} = (YS - T\Theta)0.052 H_{\text{baş}}, \quad (3)$$

$$H_{\max} = \frac{P_{\max} - P_{\text{hid}} + (H_{\text{quyu}} - H_{\text{baş}})}{0.052 X\zeta} - X\zeta 0.052 - QQ, \quad (4)$$

burada YS – yarıılma sixlığı, ppg; $T\Theta$ – təhlükəsizlik əmsali; $H_{\text{baş}}$ – başmağın dərinliyi, ft; P_{\max} – buraxılabilir maksimum quyuağlı təzyiq, psi; P_{hid} – hidrostatik təzyiq, psi; $X\zeta$ – quyuşa olan xüsusi çəki, ppg; QQ – qazın qradiyentidir, psi/ft.

Yuxarıda qeyd olunanlardan başqa istismar dövründə temperatur və təzyiqlərin dəyişməsi istismar kəmərinin ezilməsinə (bükülməsi) gətirib çıxarır. Bunu nəzərə alaraq "Stress Check" programından istifadə etməklə Bulla-dəniz yatağında qazılacaq quyuşa buraxılacaq istismar kəmərinin seçilməsi proqramı işlənilmişdir.

QK-nin seçilməsində minimum, maksimum şok və əyilmə qüvvəsi = $3200 \times$ QK borusunun xüsusi çəkisi, funt/fut; minimum şok qüvvəsi = $1600 \times$ QK borusunun xüsusi çəkisi, funt/fut; əyilmə qüvvəsi = Lülənin əyrilik bucağının kosinusu \times 63 QK borusunun xüsusi çəkisi, funt/fut \times QK-nin xarici diametri.

Yuxarıda qeyd olunanları nəzərə alaraq "Stress Check" programından istifadə edərək goləcəkdə Bulla-dəniz yatağında qazılacaq 118 №-li quyuğun istismar kəmərinin seçilməsi proqramı işlənilmişdir. Əvvəlcə proqrama Bulla-dəniz yatağında qazılımış 117 №-li quyuşa buraxılmış 9 5/8" 47 ppf Q125 markalı kəmər seçilmişdir. Şəkil 5-də qeyd olunmuş məlumatlardan göründüyü kimi, bu kəməri qazılacaq 118 №-li quyuuda istifadə etmək olur.